#### Interazioni Elettrodeboli

prof. Francesco Ragusa Università di Milano

Lezione n. 13

21,11,2022

Teoria di Fermi del decadimento  $\beta$ Studi sperimentali
Distribuzione dell'energia
Correlazioni angolari
Misura della vita media

anno accademico 2022-2023

# Lo spazio delle fasi

• L'elemento di matrice che abbiamo trovato dipende, oltre che dalle energie, anche dall'angolo fra il neutrino e l'elettrone

$$\boxed{\overline{\left| \overline{\mathfrak{M}_{F}} \right|^{2}} = 16m_{N}^{2}E_{e}E_{\nu}G^{2} \left[ C_{S}^{2} \left( 1 - \boldsymbol{\beta_{e}} \cdot \boldsymbol{\beta_{\nu}} \right) + C_{V}^{2} \left( 1 + \boldsymbol{\beta_{e}} \cdot \boldsymbol{\beta_{\nu}} \right) + 2C_{S}C_{V} \frac{m_{e}}{E_{e}} \right]}$$

- È pertanto necessario sviluppare lo spazio delle fasi senza integrare sugli angoli
- Riprendiamo pertanto il calcolo a partire dall'integrazione del momento del protone in poi (vedi diapositiva 304)

$$d\Phi = \frac{(2\pi)^4}{(2\pi)^9} \frac{\mathbf{k}^2 dk d\Omega_e}{2E_e} \frac{\mathbf{k}'^2 dk' d\Omega_{\nu}}{2E_{\nu}} \frac{1}{2E_p} \delta\left(m_n - E_e - E_{\nu} - \sqrt{\mathbf{k}^2 + \mathbf{k}'^2 + 2kk'\cos\theta_{e\nu} + m_p^2}\right)$$

• Adesso vogliamo integrare sull'energia del neutrino e poniamo  $x=E_{
u}=|{f k}'|$ 

$$f(x)=m_n-E_e-x-\sqrt{\mathbf{k}^2+x^2+2kx\cos heta_{e
u}+m_p^2}$$
 =  $E_p$   $pprox m_p$ 

• Trascurando l'energia cinetica del protone —

$$f(x) \approx m_n - m_p - E_e - x = x_0 - x$$
  $x_0 \approx m_n - m_p - E_e$   $\left| f'(x_0) \right| = 1$  
$$\delta(f(x)) = \delta(x_0 - x)$$

# Lo spazio delle fasi

• Con questa approssimazione abbiamo (ricordiamo  $|{f k}'|=E_{
u}$  e  $p_{e}$   $\equiv$   $|{f k}|$ )

$$d\Phi = \frac{(2\pi)^4}{(2\pi)^9} \frac{p_e^2 dp_e d\Omega_e}{2E_e} \frac{E_\nu^2 dE_\nu d\Omega_\nu}{2E_\nu} \frac{1}{2E_p} \delta(E_\nu - \bar{E}_\nu) \qquad \bar{E}_\nu = m_n - m_p - E_e$$

$$m_n - m_p = \Delta m$$

ullet Possiamo a questo punto integrare su  $E_
u$ 

$$d\Phi = rac{1}{\left(2\pi
ight)^5} rac{p_e^2 dp_e d\Omega_{
m e}}{8E_e E_p} ar{E}_
u d\Omega_
u$$

• Inoltre utilizziamo la consueta relazione

$$p_e^2 = E_e^2 - m_e^2 \rightarrow p_e dp_e = E_e dE_e$$

• Ancora una volta trascuriamo l'energia cinetica del protone  $E_ppprox m_p\!\!pprox m_N$ 

$$d\Phi = \frac{1}{(2\pi)^5} \frac{E_{\nu} p_e}{8m_N} dE_e d\Omega_e d\Omega_{\nu}$$

- Per semplicità abbiamo sostituito  $\,\overline{E}_{\!\nu}\,=E_{\!\nu}\,=m_{\!n}\,-m_{\!p}\,-E_{\!e}$
- A questo punto abbiamo tutti gli ingredienti per il calcolo della larghezza di decadimento

### La larghezza di decadimento

• In definitiva abbiamo per la larghezza delle transizioni di Fermi

$$d\Gamma_F = \frac{1}{2m_n} \overline{\left| \mathfrak{M}_F \right|^2} d\Phi$$

$$d\Gamma_F = \frac{1}{2m_N} 16m_N^2 E_e E_\nu G^2 \left[ C_S^2 \left( 1 - \boldsymbol{\beta_e} \cdot \boldsymbol{\beta_\nu} \right) + C_V^2 \left( 1 + \boldsymbol{\beta_e} \cdot \boldsymbol{\beta_\nu} \right) + 2C_S C_V \frac{m_e}{E_e} \right] \frac{1}{(2\pi)^5} \frac{E_\nu p_e}{8m_N} dE_e d\Omega_e d\Omega_\nu$$

$$d\Gamma_F = G^2 \frac{\left(C_S^2 + C_V^2\right)}{\left(2\pi\right)^5} p_e E_e E_\nu^2 \left[1 + a_F \boldsymbol{\beta_e} \cdot \boldsymbol{\beta_\nu} + \kappa_F \frac{m_e}{E_e}\right] dE_e d\Omega_e d\Omega_\nu$$

• Dove 
$$E_{
u}=\Delta m-E_e$$
  $a_F=rac{C_V^2-C_S^2}{C_S^2+C_V^2}$   $\kappa_F=rac{2C_SC_V}{C_S^2+C_V^2}$ 

• Analogamente per la larghezza delle transizioni Gamov-Teller

$$d\Gamma_{GT} = G^2 \frac{3(C_A^2 + C_T^2)}{(2\pi)^5} p_e E_e E_\nu^2 \left[ 1 + a_{GT} \boldsymbol{\beta}_e \cdot \boldsymbol{\beta}_\nu - \kappa_{GT} \frac{m_e}{E_e} \right] dE_e d\Omega_e d\Omega_\nu$$

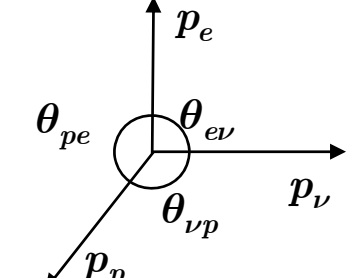
Dove

$$a_{GT} = -\frac{1}{3} \frac{C_A^2 - 4C_T^2}{C_A^2 + 4C_T^2} \qquad \kappa_{GT} = 4 \frac{2C_A C_T}{C_A^2 + C_T^2}$$

- Cominciamo con lo studio della distribuzione dell'energia dell'elettrone
  - Ricordiamo che l'elemento di matrice dipende da termini che contengono

$$\beta_e \cdot \beta_{\nu} = \beta_e \beta_{\nu} \cos \theta_{e\nu}$$

• Lo spazio delle fasi dipende dalle direzioni  $d\Omega_e$  e  $d\Omega_{\nu}$  dei momenti dell'elettrone e del neutrino



- Misuriamo gli angoli rispetto alla direzione dell'elettrone
  - Possiamo integrare su  $d\Omega_e o 4\pi$
- L'integrale sull'angolo solido del neutrino di questi termini dà contributo nullo  $\int_{-1}^{+1}\cos\theta_\nu d\cos\theta_\nu=0$
- Per i termini dell'elemento di matrice che non dipendono dagli angoli gli integrali sui due angoli solidi equivalgono a moltiplicare per  $16\pi^2$
- In definitiva, per una transizione di Fermi

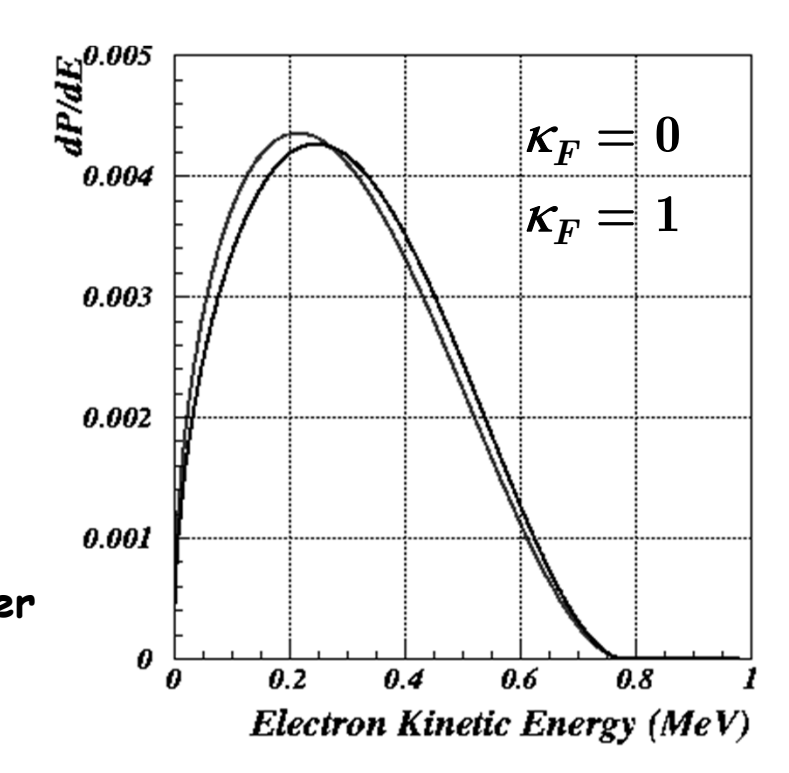
$$\left| \frac{d\Gamma_F}{dE_e} = 4G^2 \frac{\left(C_S^2 + C_V^2\right)}{\left(2\pi\right)^3} p_e E_e \left(\Delta m - E_e\right)^2 \left[1 + \kappa_F \frac{m_e}{E_e}\right] \right|$$

• Ricordiamo che abbiamo usato l'approssimazione  $~E_{
u}pprox \Delta\,m-E_{e}$ 

• Le prime informazioni sulla struttura della interazione debole nel decadimento  $\beta$  sono state ottenute studiando lo spettro della energia

$$\left| \frac{d\Gamma_F}{dE_e} = 4G^2 \frac{\left(C_S^2 + C_V^2\right)}{\left(2\pi\right)^3} p_e E_e \left(\Delta m - E_e\right)^2 \left[1 + \kappa_F \frac{m_e}{E_e}\right] \right|$$

- Il termine con coefficiente  $\kappa_F$  è un termine di interferenza è noto come Termine di interferenza di Fierz
  - NB: il valore minimo di  $E_e$  è  $m_e$
- Dallo studio della forma dello spettro si può verificare l'esistenza o meno del termine di interferenza
  - I risultati sperimentali mostrano che questo termine è assente
    - Sia per le Transizioni di Fermi
    - Sia per le Transizioni di Gamov-Teller



- L'assenza del termine di interferenza di Fierz ha delle conseguenze importanti
  - · Ricordiamo la forma dei coefficienti dei termini di interferenza

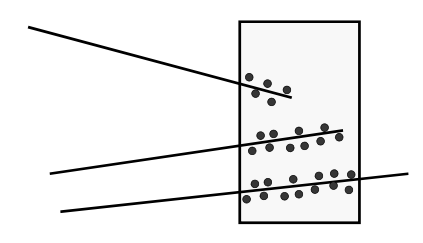
$$\kappa_F = \frac{2C_S C_V}{C_S^2 + C_V^2}$$
 $\kappa_{GT} = 4 \frac{2C_A C_T}{C_A^2 + C_T^2}$ 

• La condizione  $\kappa_{F,GT}=0$  implica che solo uno dei due accoppiamenti può essere presente

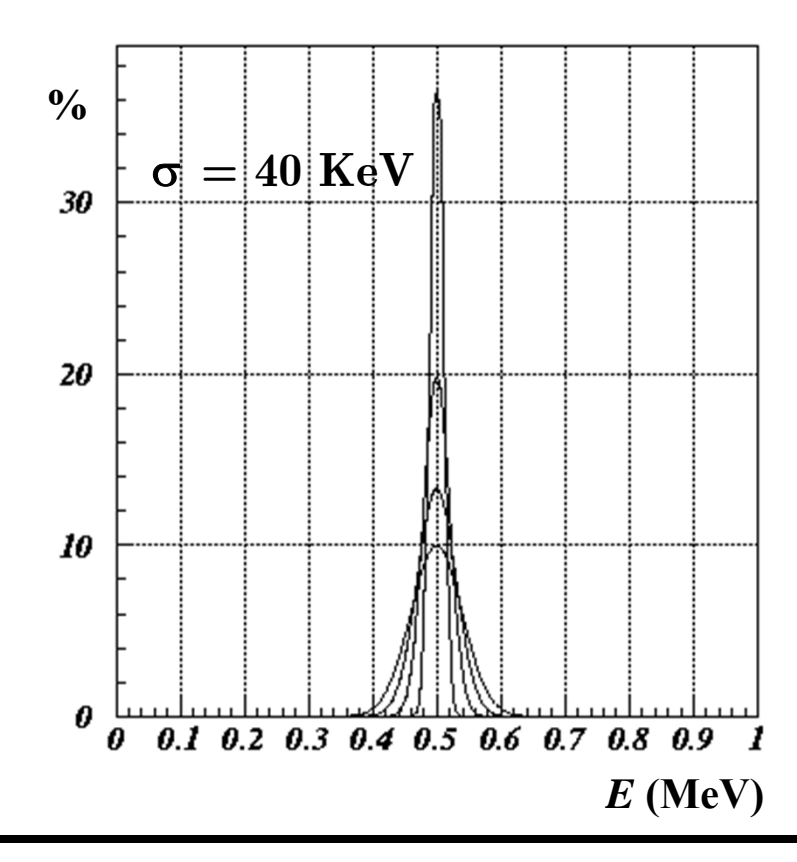
$$C_S C_V = 0 \qquad C_A C_T = 0$$

- Pertanto dei 4 possibili tipi di interazione solo 2 dovevano essere presenti con le seguenti possibilità:
  - Scalare Assiale
  - Scalare Tensoriale
  - Vettoriale Assiale
  - Vettoriale Tensoriale

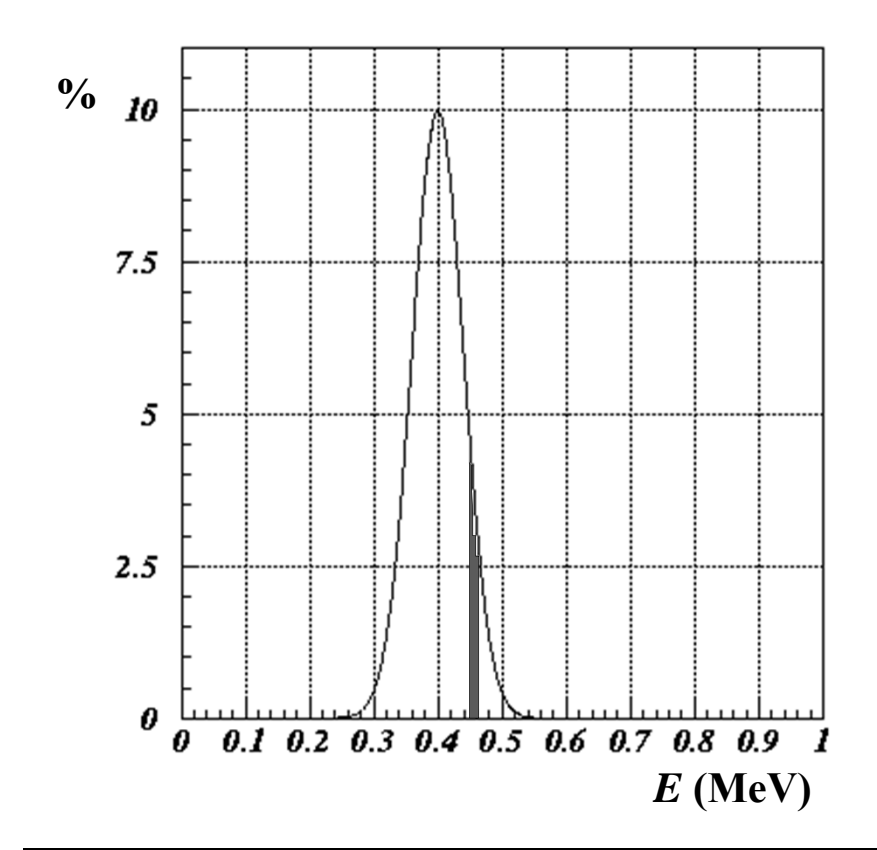
- Da un punto di vista sperimentale è interessante studiare i requisiti di risoluzione e di precisione statistica per stabilire l'assenza o meno dei termini di interferenza
  - Ovviamente, per misurare lo spettro di energia, abbiamo bisogno di un rivelatore che misuri l'energia di ogni singolo elettrone che lo attraversa

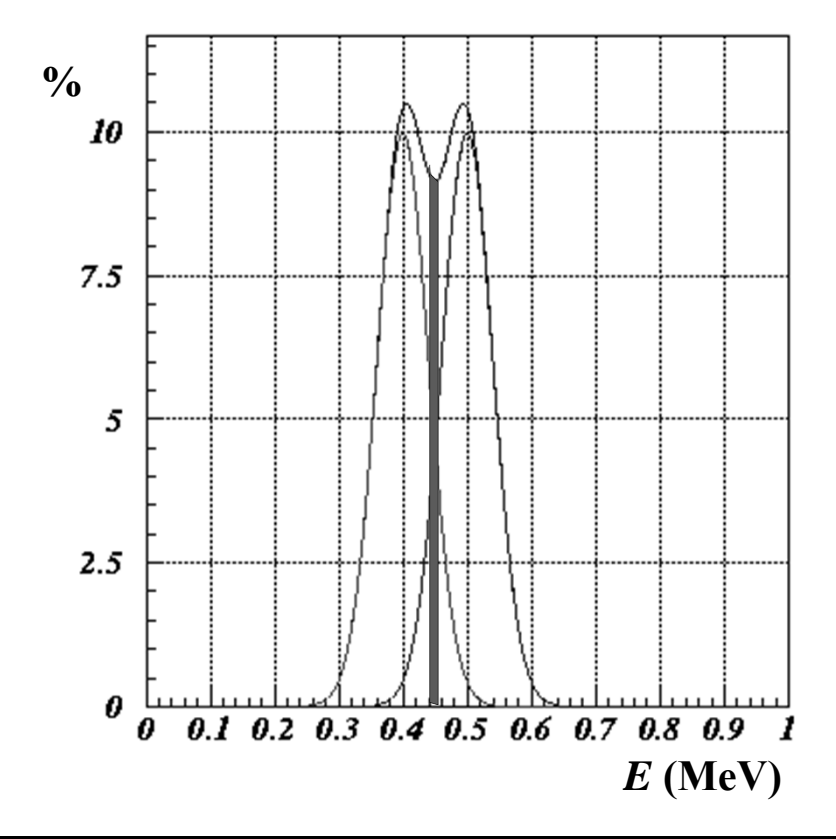


- Una prima caratteristica importante è la necessità di assorbire tutta l'energia
- Ma la caratteristica più importante è sicuramente la risoluzione
  - Supponiamo di avere un elettrone di  $500~{
    m KeV}$  e di variare la risoluzione del rivelatore



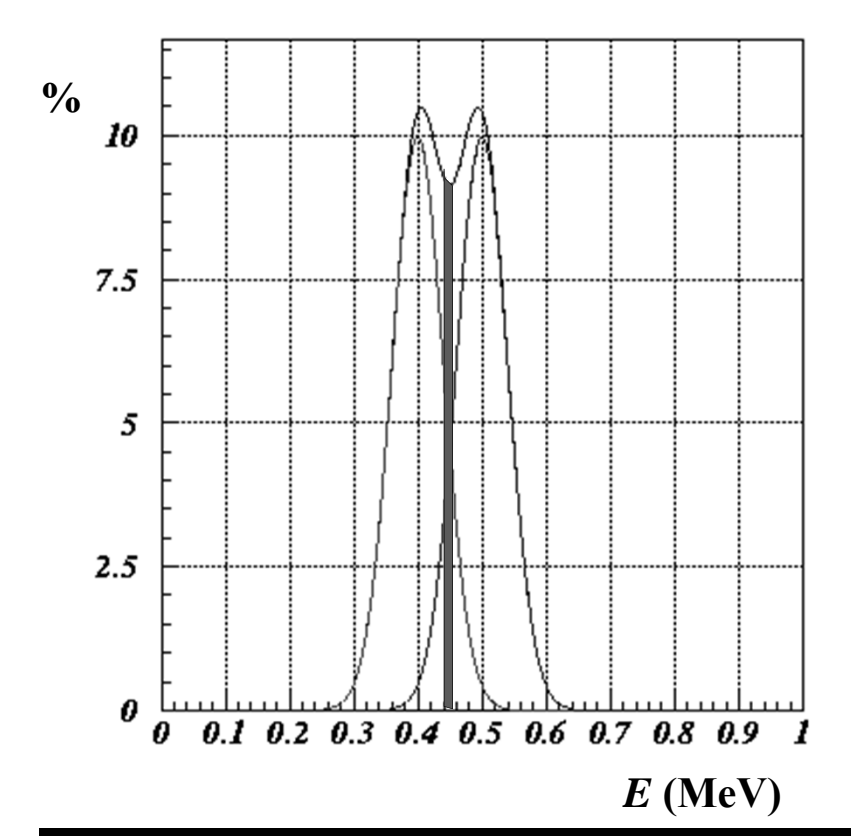
- Supponiamo di avere un elettrone di 400  ${
  m KeV}$  e una risoluzione di  $40\ {
  m KeV}$
- L'area della zona rossa dà la probabilità, data l'energia di  $400~{
  m KeV}$ , di misurare una energia nell'intervallo dato
- Se misuriamo contemporaneamente elettroni di  $400~{
  m KeV}$  e di  $500~{
  m KeV}$ 
  - Ancora l'area rossa ...
    - L'area rossa è la somma dell'area delle due "fette" delle gaussiane





- L'area rossa, posizionata a E, è data da  $\Delta P(E) \approx G(E-E_1)\Delta E + G(E-E_2)\Delta E$
- Se le due gaussiane non avessero aree uguali  $f_1$  e  $f_2$

$$\Delta P(E) \approx f_1 G(E - E_1) \Delta E + f_2 G(E - E_2) \Delta E$$



- Se le gaussiane fossero tante e ciascuna con peso  $f_{\boldsymbol{i}}$ 

$$P(E) \approx \sum_{i} f_{i}G(E - E_{i})\Delta E$$

- Possiamo interpretare  $f_i$  come il contributo al bin  $i_{esimo}$  di una distribuzione arbitraria di energia f(E)
  - Il rivelatore misura l'energia distribuita con f(E) che cade in bin diversi per la risoluzione descritta dalla gaussiana
- Il contributo al bin viene pertanto disperso nei vari bin adiacenti seguendo la legge gaussiana
- Passando al limite  $\Delta E 
  ightarrow dE$

$$P(E) = \int f(x)G(E - x)dx$$

 La distribuzione risultante è la convoluzione della distribuzione originale con una gaussiana la cui deviazione standard è determinata dalla risoluzione del rivelatore

#### • Esercizi

- 1. Scrivere un programma per disegnare il grafico dello spettro dell'energia per diversi valori del parametro  $\kappa$
- 2. Scrivere un programma per disegnare il grafico dello spettro dell'energia per  $\kappa=0$  e  $\kappa=1$  includendo l'effetto della risoluzione di un rivelatore variando la risoluzione da  $10~{
  m KeV}$  a  $100~{
  m KeV}$
- 3. Scrivere un programma che generi numeri a caso secondo la distribuzione del punto 1 (oppure utilizzare il generatore MC del decadimento  $\beta$ )
- 4. Introdurre nel programma precedente l'effetto della risoluzione sommando un ulteriore numero a caso distribuito secondo una gaussiana di media nulla e deviazione standard pari all'errore
- 5. Scrivere un programma che faccia un fit della distribuzione ottenuta nel punto 4 con la funzione teorica ottenuta al punto 2. Si considerino parametri del fit il numero degli eventi generati e il valore del parametro  $\kappa$
- 6. Determinare un grafico dell'errore sul parametro  $\kappa$  in funzione della risoluzione per 4 diversi valori del numero degli eventi
- 7. Ripetere gli studi precedenti per diversi valori del parametro  $\kappa$
- 8. Finalmente, stabilire i criteri per una misura di  $\kappa$  che permetta di stabilire se  $\kappa$  è nullo

- Richiamiamo le espressioni delle larghezze di Fermi e Gamov-Teller
  - Includiamo il risultato sperimentale  $C_S$   $C_V=$   $C_A$   $C_T=$  0 (  $\kappa_F=$   $\kappa_{GT}=$  0 )

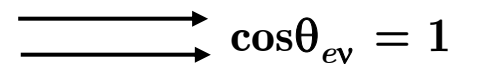
$$d\Gamma_{F} = G^{2} \frac{\left(C_{S}^{2} + C_{V}^{2}\right)}{(2\pi)^{5}} p_{e} E_{e} E_{\nu}^{2} \left[1 + a_{F} \beta_{e} \cdot \beta_{\nu}\right] dE_{e} d\Omega_{e} d\Omega_{\nu}$$

$$d\Gamma_{GT} = G^{2} \frac{3\left(C_{A}^{2} + C_{T}^{2}\right)}{(2\pi)^{5}} p_{e} E_{e} E_{\nu}^{2} \left[1 + a_{GT} \beta_{e} \cdot \beta_{\nu}\right] dE_{e} d\Omega_{e} d\Omega_{\nu}$$

- Cominciamo con l'elemento di matrice delle transizioni di Fermi
  - Poiché  $|eta_{
    u}|=1$ , esprimendo il prodotto scalare in funzione dell'angolo fra l'elettrone e il neutrino, integrando su  $d\Omega_e$  , otteniamo (A costante)

$$\frac{d\Gamma_F}{dE_e d\Omega_{\nu}} = A[1 + a_F \ \beta_e \cos(\theta_{e\nu})] \ a_F = \frac{C_V^2 - C_S^2}{C_S^2 + C_V^2}$$

- Pertanto se  $a_F>0$  (  $C_S=0$  )
  - La distribuzione ha un massimo se elettrone e neutrino tendono a essere collineari  $ightarrow \cos \theta_{e 
    u} = 1$
- Se invece  $a_{\scriptscriptstyle F} < 0$  (  $C_{\scriptscriptstyle V} = 0$  )
  - La distribuzione ha un massimo se elettrone e neutrino tendono ad andare in direzione opposta  $o \cos\theta_{e\nu} = -1$



Vettoriale

$$\cos \theta_{ev} = -1$$
Scalare

• Analogamente la larghezza di Gamov Teller

$$\overline{\left|\mathfrak{M}_{GT}\right|^{2}} = 16m_{N}^{2}E_{e}E_{\nu}3G^{2}\left(C_{A}^{2} + 4C_{T}^{2}\right)\left[1 + a_{GT}\,\boldsymbol{\beta_{e}}\cdot\boldsymbol{\beta_{\nu}}\right]$$

• Conduce alla distribuzione angolare

$$\frac{d\Gamma_{GT}}{dE_e d\Omega_{\nu}} = B[1 + a_{GT} \ \beta_e \cos(\theta_{e\nu})] \ a_{GT} = -\frac{1}{3} \frac{C_A^2 - 4C_T^2}{C_A^2 + 4C_T^2}$$

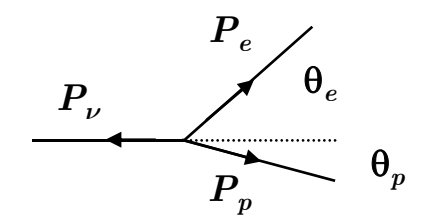
- Il massimo della distribuzione si ha per ...
- Ovviamente il neutrino non può essere rivelato
  - Si possono però misurare l'energia e/o la direzione del nucleo che rincula e utilizzare la conservazione della quantità di moto
  - Ci sono 5 variabili (  $P_e,\,P_\nu,\,P_p,\,\theta_e,\,\theta_p$  ) e 3 equazioni
  - In un esperimento ideale:
    - Si determinano due grandezze misurabili
    - Si ricava  $\theta_{e\nu}$
    - Si costruisce la distribuzione di  $\cos\!\theta_{e\nu}$  e si misura  $a_{GT}$  ( o  $a_{F}$  )

$$a_{GT}>0$$
  $ightarrow$  Tensoriale

$$\cos \theta_{e
u} = 1$$

$$a_{GT} < 0 o ext{Assiale}$$

$$\cos heta_{e
u} = -1$$



$$\left\{egin{aligned} P_{
u} &= P_e \cos heta_e + P_p \cos heta_p \ P_e \sin heta_e &= P_p \sin heta_p \ m_n - m_p &= P_
u + T_p + E_e \end{aligned}
ight.$$

• Esperimento di Allen et al

 Per potere misurare l'energia di rinculo si deve studiare il decadimento nel vuoto

• Il gas radioattivo, prodotto con un ciclotrone

Es.:  $n + {}^{9}\mathrm{Be} \to {}^{6}\mathrm{He} + {}^{4}\alpha$  viene immesso dal condotto A

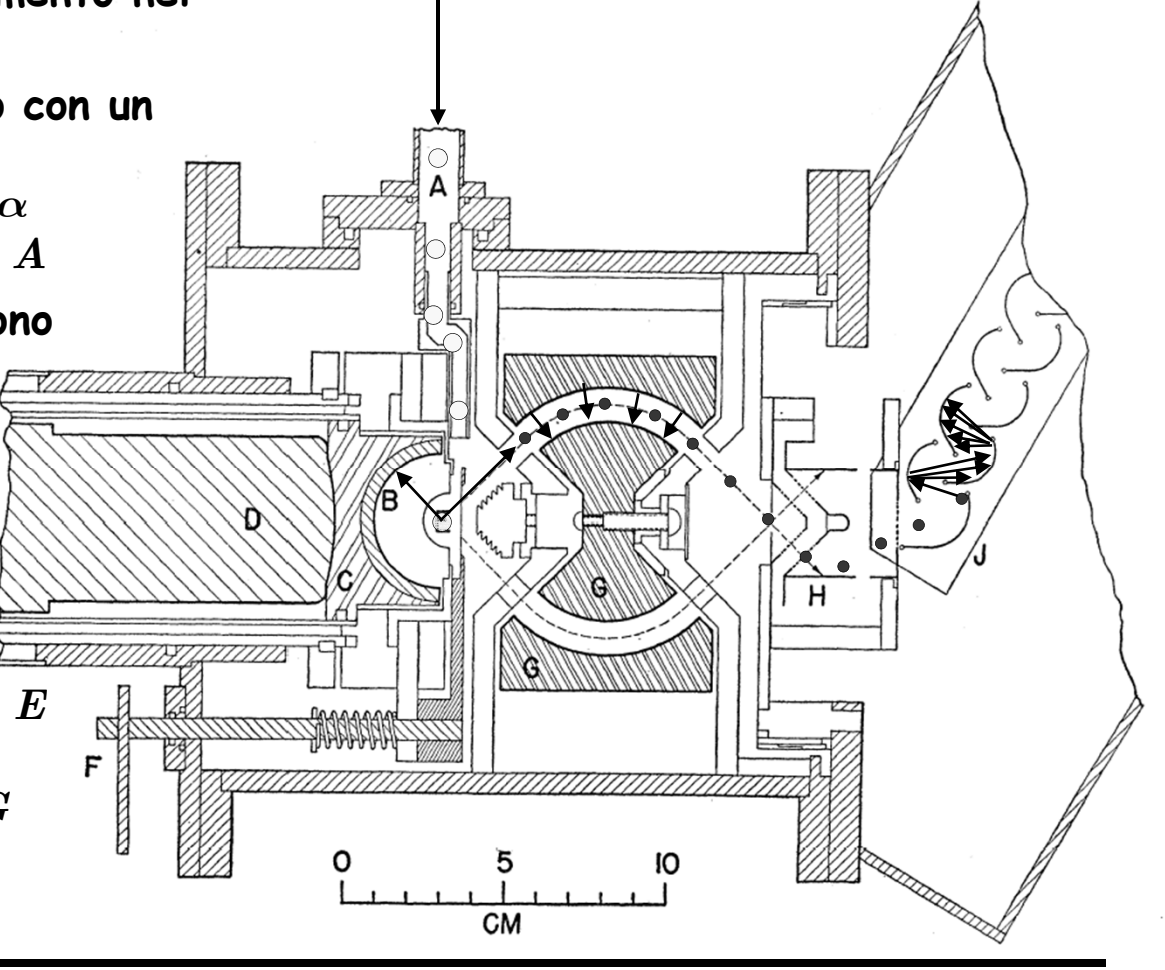
• I nuclei radioattivi diffondono nell'apparato.

ullet I decadimenti utili sono quelli che avvengono nella zona E

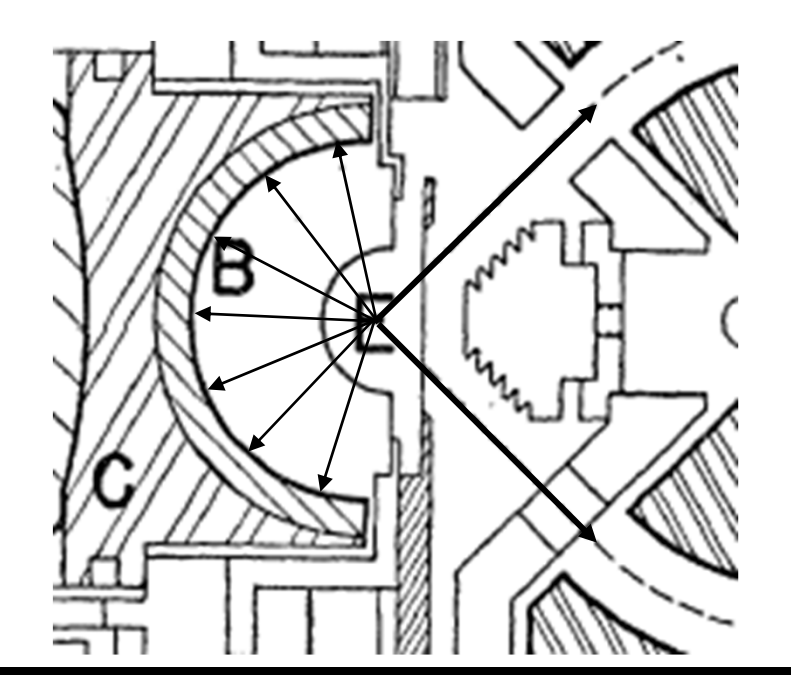
• Gli elettroni sono rivelati in  ${\cal B}$ 

• Tramite un campo elettrico E i nuclei (ioni) vengono selezionati in energia con G

ullet Vengono rivelati in  $H\!-\!J$ 



- Si misura la distribuzione dell'energia cinetica del nucleo
- Ci sono solo due direzioni del rinculo che entrano nello spettrometro
  - Consideriamone una per fissare le idee
- Gli eventi selezionati sono quelli in cui l'angolo fra nucleo ed elettrone varia da  $\theta_{min}$  a  $\theta_{max}$



$$P_{p} = P_{c} \cos \theta_{c} + P_{\nu} \cos \theta_{\nu}$$

$$P_{e} \sin \theta_{c} = P_{\nu} \sin \theta_{\nu}$$

$$P_{c} \sin \theta_{c} = P_{\nu} \sin \theta_{\nu}$$

$$P_{e} \cos \theta_{c} + T_{p} + E_{c}$$

$$E_{e} = f_{1} \left( T_{p}, \theta_{cp} \right) \qquad \cos \theta_{c\nu} = f_{2} \left( T_{p}, \theta_{cp} \right)$$

$$\frac{d\Gamma}{dT_{p} d \cos \theta_{cp}} = \frac{d\Gamma}{dE_{c} d \cos \theta_{c\nu}} \begin{vmatrix} \frac{\partial E_{c}}{\partial T_{p}} & \frac{\partial E_{c}}{\partial \cos \theta_{cp}} \\ \frac{\partial \cos \theta_{c\nu}}{\partial T_{p}} & \frac{\partial \cos \theta_{c\nu}}{\partial \cos \theta_{cp}} \end{vmatrix}$$

$$\frac{d\Gamma}{dT_{p} d \cos \theta_{cp}} = g(T_{p}, \cos \theta_{cp})$$

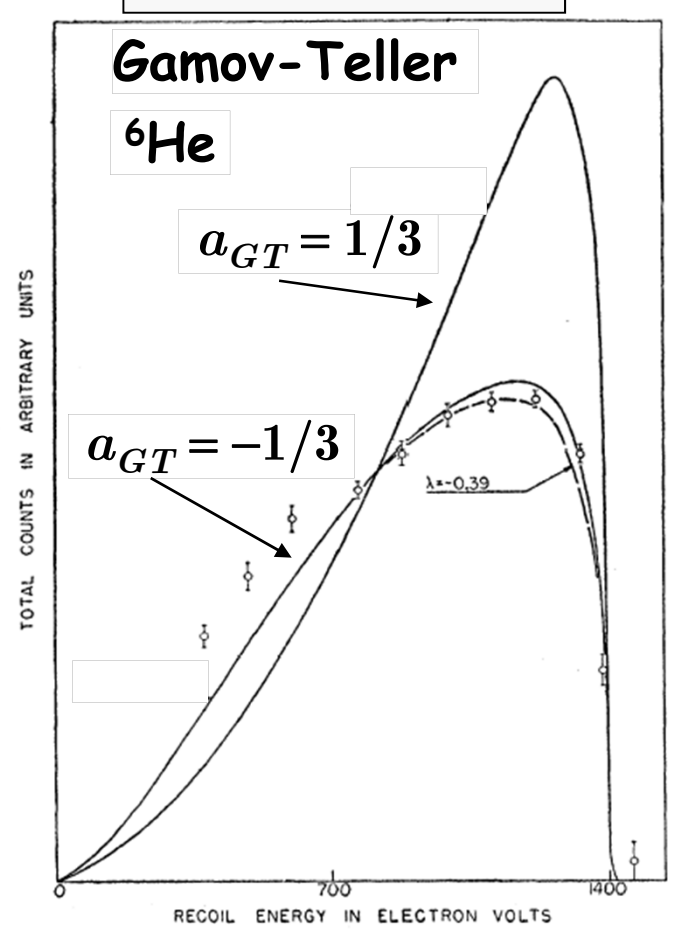
$$\frac{d\Gamma}{dT_{p}} = \int_{\theta_{cp \, max}}^{\theta_{cp \, max}} \frac{d\Gamma}{dT_{p} d \cos \theta_{cp}} d \cos \theta_{cp}$$

$$\frac{d\Gamma}{dT_{p}} = \int_{\theta_{cp \, max}}^{\theta_{cp \, max}} g(T_{p}, \cos \theta_{cp}) d \cos \theta_{cp}$$

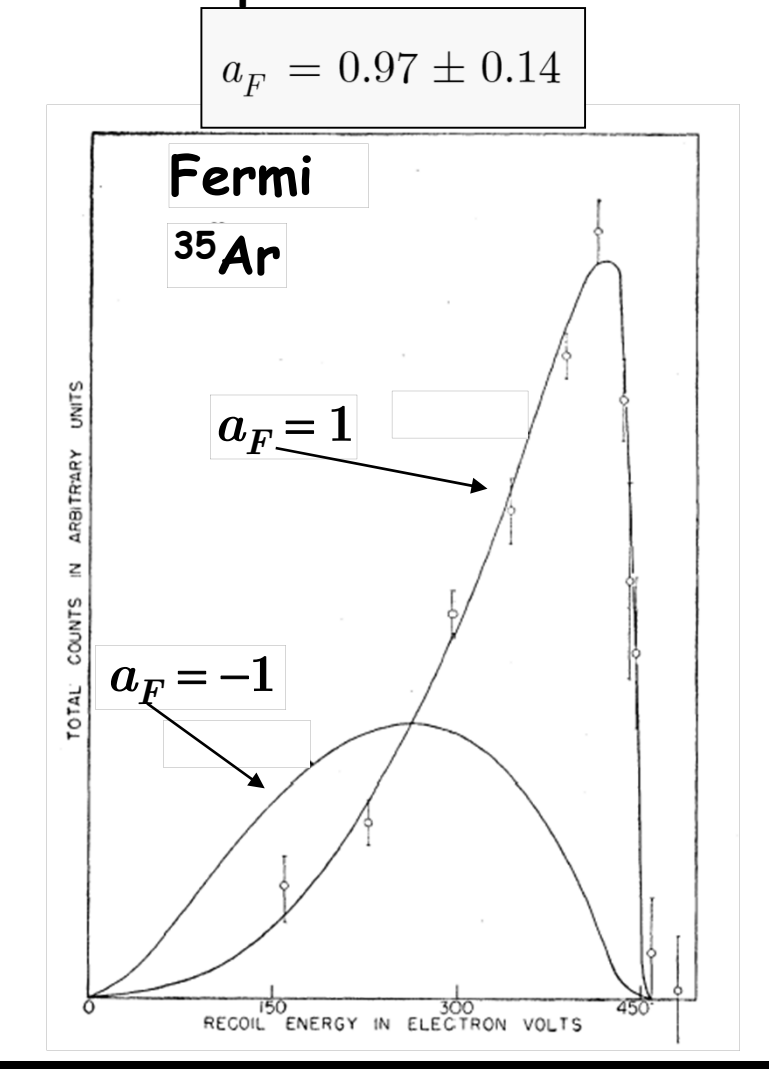
- La distribuzione di energia del nucleo non si può ottenere analiticamente.
  - Occorre un calcolo numerico o una simulazione Montecarlo

• Risultato per <sup>6</sup>He

$$a_{GT} = -0.39 \pm 0.05$$



• Risultato per <sup>35</sup>Ar



# Riepilogo

- Conseguenze dello studio dello spettro dell'energia dell'elettrone
  - Nelle transizioni di Fermi e Gamov-Teller sono assenti i termini di interferenza
    - Dato che  $C_S$   $C_V=0$  nelle transizioni di Fermi è attiva solo
      - O la componente Scalare
      - O la componente Vettoriale
    - Dato che  $C_T \,\, C_A = 0$  nelle transizioni di Gamov-Teller è attiva solo
      - O la componente Tensoriale
      - O la componente Assiale
- Dalle informazioni precedenti e dallo studio dell'energia di rinculo del nucleo si ottengono informazioni sulla correlazione angolare  $\beta_e - \beta_{\nu}$

$$a_F = \frac{C_V^2 - C_S^2}{C_S^2 + C_V^2} = 1$$

$$C_S = 0 \quad C_V \neq 0$$

• Interazioni di Fermi 
$$a_F=\frac{C_V^2-C_S^2}{C_S^2+C_V^2}=1 \qquad \qquad \begin{bmatrix} C_S=0 & C_V\neq 0 \\ \end{bmatrix}$$
 • Interazioni di Gamov-Teller 
$$a_{GT}=-\frac{1}{3}\frac{C_A^2-4C_T^2}{C_A^2+4C_T^2}=-\frac{1}{3} \quad \boxed{C_T=0 & C_A\neq 0}$$

$$C_T = 0 \quad C_A \neq 0$$

• Pertanto l'Hamiltoniana del decadimento eta contiene solo i seguenti termini

Vettoriale 
$$\gamma^{\mu}$$

Vettoriale Assiale 
$$\gamma^5\gamma^\mu$$

#### La vita media

- Infine possiamo calcolare la vita media
  - Assumendo assenti i termini di interferenza (  $\kappa=0$  ) abbiamo ( Fermi )

$$d\Gamma_F = 4G^2 \frac{(C_S^2 + C_V^2)}{(2\pi)^3} p_e E_e E_\nu^2 dE_e$$

• Abbiamo inoltre visto che è presente solo il termine vettoriale  $(\,C_{\!\scriptscriptstyle S}=0)$ 

$$d\Gamma_F = 4G^2 \frac{C_V^2}{\left(2\pi\right)^3} p_e E_e E_{
u}^2 dE_e$$

• Analogamente nelle transizioni di Gamov-Teller è presente solo il termine assiale  $(C_T=0)$  e pertanto risulta

$$d\Gamma_{GT} = 4G^2 \frac{3C_A^2}{(2\pi)^3} p_e E_e E_{\nu}^2 dE_e$$

• In un decadimento in cui sono presenti entrambi i termini abbiamo

$$d\Gamma = \frac{4}{(2\pi)^3} G^2 \left( C_V^2 + 3C_A^2 \right) p_e E_e E_\nu^2 dE_e$$

· Conviene riscrivere l'ultima equazione come

$$d\Gamma = \frac{4}{(2\pi)^3} G^2 C_V^2 \left( 1 + 3 \frac{C_A^2}{C_V^2} \right) p_e E_e E_\nu^2 dE_e$$

#### La vita media

· La larghezza totale è data pertanto dall'integrale

$$\Gamma = \frac{4}{(2\pi)^3} G^2 C_V^2 \left( 1 + 3 \frac{C_A^2}{C_V^2} \right) \int_{m_e}^{m_e + \Delta m} |\mathbf{k}| E_e E_\nu^2 dE_e$$
 
$$\left[ \int_{m_e}^{m_e + \Delta m} \right] = M^5$$

- Notiamo le dimensioni dell'integrale
- In realtà per misure di precisione occorre tenere conto di effetti che per semplicità finora abbiamo trascurato
  - Elemento di matrice nucleare
  - Effetti del campo coulombiano
- Nell'elemento di matrice nucleare abbiamo assunto (semplificando)

$$\left( |\langle \boldsymbol{\sigma} \rangle|^2 = |\langle \sigma_x \rangle|^2 + |\langle \sigma_y \rangle|^2 + |\langle \sigma_z \rangle|^2 = 3 \right)$$

$$|\langle 1 \rangle|^2 = 1$$

• Per tenere conto degli elementi di matrice nucleari si definisce (e si calcola)

$$|\xi| = |\langle 1 \rangle|^2 + \frac{C_A^2}{C_V^2} |\langle \boldsymbol{\sigma} \rangle|^2 \qquad G_\beta = GC_V \qquad \qquad \boxed{\Gamma = \frac{4}{(2\pi)^3} G_\beta^2 \xi \int_{m_e}^{m_e + \Delta m} |\mathbf{k}| E_e E_\nu^2 dE_e}$$

- Ovviamente con la sola misura di  $\Gamma$  non è possibile separare G e  $C_V$
- ullet Ritorneremo in seguito sul rapporto  $C_A/\,C_V$

#### La vita media

- Per tenere conto dell'effetto del campo coulombiano che modifica le funzioni d'onda dell'elettrone (abbiamo usato le funzioni d'onda di particelle libere) si introduce la funzione di Fermi  $F(Z,E_e)$ 
  - La funzione  $F(Z,E_e)$  moltiplica l'integrando
  - Si definisce

$$f = \int_{m_e}^{m_e + \Delta m} F(Z, E_e) p_e E_e (\Delta m - E_e)^2 dE_e$$

· Abbiamo in definitiva

$$\Gamma = \frac{1}{\tau} = \frac{G_{\beta}^2}{2\pi^3} \xi f$$

• Sperimentalmente si studia

$$f au = rac{2\pi^3}{G_{eta}^2 \xi} o ft_{1/2} = rac{2\pi^3 \ln 2}{G_{eta}^2 \xi}$$

- Misurando la vita media di un decadimento di un nucleo e calcolato il valore di  $\xi$  per quel nucleo si ottiene  $G_{\beta}$ 
  - ullet Il valore di  $G_eta$  misurato e mediato su tanti decadimenti è

$$G_{\beta} \, = 1.13578 \, \pm \, 0.00027 \times 10^{-5} \, \mathrm{GeV^{-2}}$$

### Il gruppo di Lorentz

- La richiesta che le leggi fisiche siano le stesse in tutti i sistemi inerziali implica che le grandezze fisiche abbiano ben precise leggi di trasformazione rispetto alle trasformazioni di Lorentz
  - In particolare i 4-vettori
    - Ad esempio il 4-vettore energia-impulso  $p^{\mu}$
  - I 4-vettori hanno un modulo invariante per trasformazioni  $m^2=g_{\mu 
    u}p^\mu p^
    u$
- Matematicamente le trasformazioni di Lorentz possono essere definite come le trasformazioni che lasciano invariata la forma quadratica  $g_{\mu\nu}x^\mu y^\nu$ 
  - Abbiamo visto che la condizione necessaria e sufficiente perchè ciò accada è che la matrice  $\Lambda$  che rappresenta la trasformazione abbia la proprietà

$$g_{\mu
u}\Lambda^{\mu}{}_{\alpha}\Lambda^{
u}{}_{\beta} = g_{\alpha\beta}$$
  $\Lambda^{T}G\Lambda = G$ 

- Può essere scritta in modo equivalente come  $\Lambda_{\mu}{}^{lpha}\Lambda^{\mu}{}_{eta}=\delta_{eta}{}^{lpha}$
- Questo significa anche la matrice inversa  $\Lambda^{-1}$  è data da  $(\Lambda^{-1})_{\mu}^{\;\;
  u}=\Lambda^{
  u}_{\;\;\mu}$ 
  - Si tratta di una trasposizione e di cambi di segno (elementi  $\Lambda^0{}_i$  e  $\Lambda^i{}_0$ )
- ullet Le matrici  $\Lambda$  che soddisfano le condizioni enunciate formano un gruppo

Il Gruppo di Lorentz

# Il gruppo di Lorentz

- Ricordiamo le proprietà di un gruppo
  - Chiusura: se  $\Lambda_1$  e  $\Lambda_2$  appartengono al gruppo anche  $\Lambda_1 \, \Lambda_2$  appartiene ad esso

$$(\Lambda_1 \Lambda_2)^T G(\Lambda_1 \Lambda_2) = \Lambda_2^T \Lambda_1^T G \Lambda_1 \Lambda_2 = \Lambda_2^T G \Lambda_2 = G$$

- Associatività:  $\Lambda_1 \, \Lambda_1 \, \Lambda_3 = (\Lambda_1 \, \Lambda_2) \, \Lambda_3 = \Lambda_1 (\Lambda_2 \, \Lambda_3)$ 
  - Il prodotto di matrici è associativo
- Identità: la matrice identità appartiene al gruppo
  - La matrice I appartiene evidentemente al gruppo:  $I^TGI = G$
- Inversa:ogni elemento  $\Lambda$  ha un'inverso  $\Lambda^{-1}$  appartenente al gruppo e  $\Lambda^{-1}\Lambda{=}I$ 
  - Abbiamo visto che  $\Lambda^T G \Lambda = G$  mostra come scrivere l'inversa  $(\Lambda^{-1})_{\mu}{}^{
    u} = \Lambda^{
    u}{}_{\mu}$
- Più formalmente
  - Dimostriamo che  $\Lambda$  ha determinante non nullo

$$\det \left[ \Lambda^T G \Lambda \right] = \det \left[ G \right] \qquad \det \left[ \Lambda^T \right] \det \left[ G \right] \det \left[ \Lambda \right] = \det \left[ G \right] \qquad \left[ (\det \left[ \Lambda \right])^2 = 1$$

- Quindi  $\Lambda$  ha un'inversa  $\Lambda^{-1}$
- Dimostriamo che  $\Lambda^{-1}$  appartiene al gruppo

$$\Lambda^T G \Lambda = G \qquad \left(\Lambda^{-1}
ight)^T \Lambda^T G \Lambda \Lambda^{-1} = \left(\Lambda^{-1}
ight)^T G \Lambda^{-1} \qquad \left(\Lambda \Lambda^{-1}
ight)^T G I = \left(\Lambda^{-1}
ight)^T G \Lambda^{-1} = G$$

### Il gruppo di Lorentz

- Il gruppo definito in modo astratto nella diapositiva precedente contiene molto di più che le semplici trasformazioni di Lorentz (boost)
  - Ovviamente contiene le rotazioni
  - Contiene gli operatori di inversione temporale  ${\mathbb T}$  e inversione spaziale  ${\mathbb P}$

$$\mathbb{T}^{\mu}{}_{\nu} = \begin{pmatrix} -1 & 0 & 0 & 0 \\ 0 & 1 & 0 & 0 \\ 0 & 0 & 1 & 0 \\ 0 & 0 & 0 & 1 \end{pmatrix} \qquad \mathbb{P}^{\mu}{}_{\nu} = \begin{pmatrix} 1 & 0 & 0 & 0 \\ 0 & -1 & 0 & 0 \\ 0 & 0 & -1 & 0 \\ 0 & 0 & 0 & -1 \end{pmatrix}$$

- Gli operatori  $\mathbb{T}$  e  $\mathbb{P}$  sono di natura diversa rispetto alle trasformazioni di Lorentz fin qui studiate
  - Non si possono costruire a partire dall'identità come somma di operazioni infinitesime
    - Non possono essere "connesse" con continuità all'identità
    - Sono trasformazioni discrete
- Una qualsiasi trasformazione del gruppo di Lorentz può essere costruita combinando
  - ullet Boost, Rotazioni, Inversioni  ${\mathbb T}$ , Inversioni  ${\mathbb P}$

# Classificazione del gruppo di Lorentz

- Esaminiamo in maggiore dettaglio la struttura del gruppo di Lorentz
- Una prima classificazione viene fatta sulla base del segno del determinante
  - Abbiamo visto che  $(\det[\Lambda])^2=1$   $\det[\Lambda]=\pm 1$
  - Si definiscono i due seguenti tipi di trasformazioni
    - Se  $\det[\Lambda] = +1 o \mathsf{Trasformazioni}$  di Lorentz proprie
    - ullet Se  $\det[\Lambda] = -1 o \mathsf{Trasformazioni}$  di Lorentz improprie
  - Notiamo che il prodotto di due trasformazioni proprie è ancora una trasformazione propria
    - Questa proprietà non vale per le trasformazioni improprie
- ullet La seconda classificazione viene fatta sulla base del segno dell'elemento  $\Lambda^0_{\ 0}$ 
  - Specializziamo la relazione  $\Lambda^T G \Lambda = G$  all'indice 00 di G

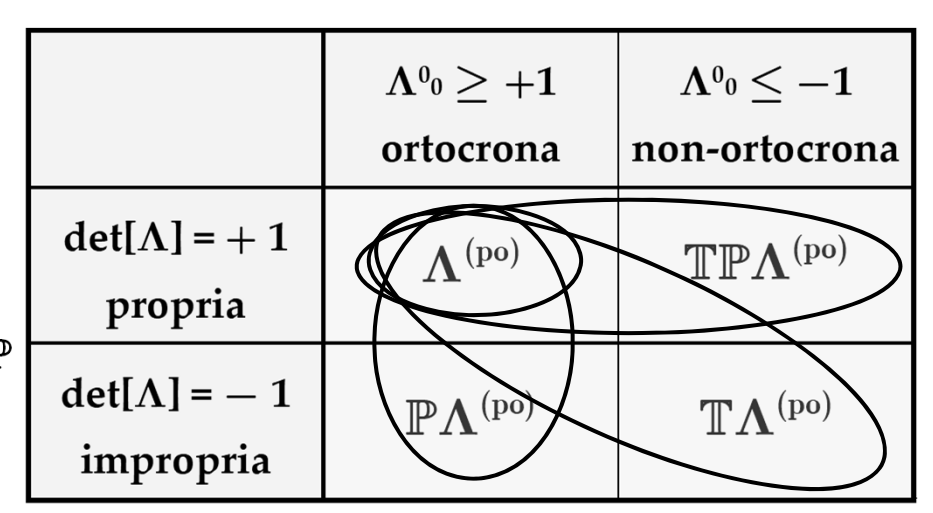
$$g_{\mu\nu}\Lambda^{\mu}{}_{\alpha}\Lambda^{\nu}{}_{\beta} = g_{\alpha\beta} \qquad \qquad g_{\mu\nu}\Lambda^{\mu}{}_{0}\Lambda^{\nu}{}_{0} = g_{00} = 1 \qquad 1 = \Lambda^{0}{}_{0}\Lambda^{0}{}_{0} - \sum_{i}\Lambda^{i}{}_{0}\Lambda^{i}{}_{0}$$

$$\Lambda^{0}{}_{0}\Lambda^{0}{}_{0} = 1 + \sum_{i} (\Lambda^{i}{}_{0})^{2} \qquad (\Lambda^{0}{}_{0})^{2} \ge 1 \qquad \qquad \Lambda^{0}{}_{0} \ge +1 \qquad \qquad \Lambda^{0}{}_{0} \le -1$$

- ullet Se  $\Lambda^0_{\ 0} \geq +1 \ o$  Trasformazioni di Lorentz ortocrone
- Se  $\Lambda^0_0 \leq -1 \quad o$  Trasformazioni di Lorentz non-ortocrone

# Classificazione del gruppo di Lorentz

- · Le trasformazioni del gruppo di Lorentz sono pertanto classificate
  - · Per il segno del determinante
  - Per il segno del termine  $\Lambda^0_{\ 0}$
- Nella tabella
  - $\Lambda^{(\mathrm{po})} 
    ightarrow \mathsf{trasformazione}$  propria e ortocrona
- Le trasformazioni delle altre classi si ottengono combinando  $\Lambda^{(po)}$ ,  $\mathbb T$  e  $\mathbb P$  È facile verificare che
  - I è propria e ortocrona
  - P è impropria e ortocrona
  - $\mathbb{T}$  è impropria e non ortocrona
  - ullet Le trasformazioni  $\Lambda^{(\mathrm{po})}$  sono un sottogruppo
  - Le trasformazioni proprie sono un sottogruppo
  - Le trasformazioni ortocrone sono un sottogruppo
  - L'insieme delle trasformazioni proprie ortocrone e delle trasformazioni improprie e non-ortocrone sono un sottogruppo
- NB: I boost non sono un sottogruppo
  - Due boost in direzioni diverse sono equivalenti ad un boost più una rotazione



#### Generatori ...

$$\left[\left[\widehat{K}_{j},\widehat{K}_{k}
ight]=-arepsilon_{jkl}\widehat{L}_{l}
ight]$$

$$\left[\,\widehat{L}_{j},\widehat{L}_{k}\,
ight] = \, arepsilon_{jkl}\widehat{L}_{l}$$

$$\left[\,\widehat{L}_{j},\widehat{K}_{k}\,
ight] = arepsilon_{jkl}\widehat{K}_{l}$$

# Inversione degli spinori

- In precedenza abbiamo visto come costruire le trasformazioni di Lorentz per uno spinore
  - Erano trasformazioni associate a trasformazioni proprie e ortocrone
  - Costruite come somma di trasformazioni infinitesime a partire dall'identità
- Ricordiamo la condizione di invarianza della equazione di Dirac
  - La trasformazione  $S(\Lambda)$  e le matrici  $\gamma$  avevano la seguente proprietà

$$S^{-1}\left(\Lambda\right)\gamma^{\mu}S\left(\Lambda\right) = \Lambda^{\mu}_{\ \nu}\gamma^{\nu}$$

• Vogliamo adesso trovare la trasformazione  $S_P \equiv S(\mathbb{P})$   $\mathbb{P}^{\mu}_{\nu} = \begin{bmatrix} 1 & 0 & 0 & 0 \\ 0 & -1 & 0 & 0 \\ 0 & 0 & -1 & 0 \\ 0 & 0 & 0 & -1 \end{bmatrix}$  che corrisponde all'inversione spaziale  $\mathbb{P}$ che corrisponde all'inversione spaziale  $\mathbb{P}$ 

$$\mathbb{P}^{\mu}_{\ \nu} = \begin{bmatrix} 1 & 0 & 0 & 0 \\ 0 & -1 & 0 & 0 \\ 0 & 0 & -1 & 0 \\ 0 & 0 & 0 & -1 \end{bmatrix}$$

• Scriviamo per esteso le condizioni sulle matrici  $\gamma$  per l'invarianza

$$S_P^{-1} \gamma^0 S_P = P^0_{\ \nu} \gamma^{\nu}$$
  $S_P^{-1} \gamma^0 S_P = \gamma^0$   $S_P^{-1} \gamma^i S_P = P^i_{\ \nu} \gamma^{\nu}$   $S_P^{-1} \gamma^i S_P = -\gamma^i$ 

ullet Un operatore con le proprietà di  $S_P$  si trova definendo

$$S_P = \eta \gamma^0$$

$$\frac{\left(\eta\gamma^{0}\right)^{-1}\gamma^{0}\left(\eta\gamma^{0}\right)=\eta^{-1}\gamma^{0}\gamma^{0}\eta\gamma^{0}=\gamma^{0}}{\left(\eta\gamma^{0}\right)^{-1}\gamma^{i}\left(\eta\gamma^{0}\right)=\eta^{-1}\gamma^{0}\gamma^{i}\eta\gamma^{0}=\gamma^{0}\gamma^{i}\gamma^{0}=-\gamma^{i}} \qquad \text{scegliamo} \qquad \boxed{\eta=+1}$$

• Infine richiediamo 
$$\overline{S_P}S_P=I$$
  $\overline{\eta\gamma^0}\eta\gamma^0=\eta^*\eta\gamma^0\gamma^0=|\eta|^2I$   $|\eta|^2=1$ 

#### Trasformazione dei covarianti bilineari

 Nel calcolo dell'elemento di matrice dell'interazione di Fermi generalizzata abbiamo trovato le seguenti quantità (bilineari covarianti)

$$f = \overline{u}\Gamma_X u$$

- ullet Per ogni matrice  $\Gamma$  la quantità f è un numero
- Le matrici  $\Gamma_X$  possono avere indici
  - Ad esempio  $\gamma^\mu$ , nel qual caso anche f ha gli stessi indici  $f^\mu=\overline{u}\gamma^\mu u$
- Le matrici  $\Gamma_{\rm i}$  sono combinazioni di matrici  $\gamma$  che inducono ben precise proprietà di trasformazione di Lorentz per le quantità f

$ullet$ $\Gamma_S$	=	1	Scalare	$f = \overline{u}u$
• $\Gamma_V$	=	$\gamma^{\mu}$	Vettore	$f^{\mu} = \overline{u}\gamma^{\mu}u$
$ullet$ $\Gamma_A$	=	$\gamma^5 \gamma^\mu$	Vettore Assiale	$f^{\mu} = \overline{u}\gamma^5\gamma^{\mu}u$
$ullet$ $\Gamma_T$	=	$\sigma^{\mu u}=i/2\left[\gamma^{\mu},\!\gamma^{ u} ight]$	Tensore	$f^{\mu\nu} = \overline{u}\gamma^{\mu}\gamma^{\nu}u$
$\bullet \Gamma_P$	=	$\gamma^5$	Pseudoscalare	$f = \overline{u}\gamma^5 u$

- ullet Verifichiamo adesso le proprietà di trasformazione delle grandezze f
  - ullet Per trasformazioni di Lorentz proprie e ortocrone  $S(\Lambda)$
  - ullet Per inversione spaziale  $S_P$

### Trasformazione dei covarianti bilineari

- Matrice scalare  $\Gamma_{S}=I$ 
  - Trasformazione di Lorentz

$$f' = \overline{u}' \Gamma_S u' = \overline{Su} \Gamma_S Su = \overline{u} \overline{S} Su = \overline{u}u = f$$

 $\overline{S}S = S^{-1}S = I$ 

Inversione spaziale

$$f' = \overline{S_P u} \Gamma_S S_P u = \overline{u} \overline{\gamma^0} \gamma^0 u = \overline{u} u = f$$

- Matrice vettoriale  $\Gamma_V = \gamma^{\mu}$ 
  - Trasformazione di Lorentz

$$f'^{\mu} = \overline{Su}\Gamma_{V}Su = \overline{u}\overline{S}\gamma^{\mu}Su = \overline{u}S^{-1}\gamma^{\mu}Su = \overline{u}\Lambda^{\mu}_{\nu}\gamma^{\nu}u = \Lambda^{\mu}_{\nu}\overline{u}\gamma^{\nu}u = \Lambda^{\mu}_{\nu}f^{\nu}$$

Inversione spaziale

Inversione spaziale 
$$f'^{\mu} = \overline{S_P u} \Gamma_V S_P u = \overline{u} \gamma^0 \gamma^{\mu} \gamma^0 u \ = \begin{cases} +\overline{u} \gamma^0 u & \mu = 0 \\ -\overline{u} \gamma^i u & \mu = 1, 3 \end{cases}$$
 Vettore polare Vettor

 $S^{-1}(\Lambda)\gamma^{\mu}S(\Lambda) = \Lambda^{\mu}_{\nu}\gamma^{\nu}$ 

Vettore assiale

• Matrice vettoriale assiale  $\Gamma_A$  =  $\gamma^5\gamma^\mu$   $\qquad \qquad \gamma^\mu\gamma^\nu\gamma^5 = \gamma^5\gamma^\mu\gamma^\nu \to S\gamma^5 = \gamma^5S$ 

$$f'^{\mu} = \overline{Su}\Gamma_{A}Su = \overline{u}\overline{S}\gamma^{5}\gamma^{\mu}Su = \overline{u}\gamma^{5}S^{-1}\gamma^{\mu}Su = \Lambda^{\mu}_{\phantom{\mu}\nu}\overline{u}\gamma^{5}\gamma^{\nu}u = \Lambda^{\mu}_{\phantom{\mu}\nu}f^{\nu}$$

Inversione spaziale

$$f'^{\mu} = \overline{S_P u} \Gamma_A S_P u = \overline{u} \gamma^0 \gamma^5 \gamma^{\mu} \gamma^0 u = -\overline{u} \gamma^5 \gamma^0 \gamma^{\mu} \gamma^0 u = \begin{cases} -\overline{u} \gamma^0 u & \mu = 0 \\ +\overline{u} \gamma^i u & \mu = 1, 3 \end{cases}$$

### Trasformazione dei covarianti bilineari

- Matrice tensoriale  $\Gamma_T = \gamma^\mu \gamma^\nu$  ,  $\mu \neq \nu$ 
  - Trasformazione di Lorentz

$$f'^{\mu\nu} = \overline{Su}\Gamma_T Su = \overline{u}S^{-1}\gamma^{\mu}\gamma^{\nu}Su = \overline{u}S^{-1}\gamma^{\mu}SS^{-1}\gamma^{\nu}Su = \overline{u}\Lambda^{\mu}{}_{\alpha}\gamma^{\alpha}\Lambda^{\nu}{}_{\beta}\gamma^{\beta}u$$
$$= \Lambda^{\mu}{}_{\alpha}\Lambda^{\nu}{}_{\beta}\overline{u}\gamma^{\alpha}\gamma^{\beta}u = \Lambda^{\mu}{}_{\alpha}\Lambda^{\nu}{}_{\beta}f^{\alpha\beta}$$

Inversione spaziale

$$f'^{\mu\nu} = \overline{S_P u} \Gamma_T S_P u = \overline{u} \gamma^0 \gamma^\mu \gamma^\nu \gamma^0 u \qquad \qquad = \begin{cases} +f^{\mu\nu} & \mu, \nu = 1, 2, 3 \\ -f^{\mu\nu} & \mu = 0, \nu = 1, 2, 3 \end{cases}$$
• Se  $i,j=1,2,3$  
$$\gamma^i \gamma^j \to \gamma^0 \gamma^i \gamma^j \gamma^0 = \gamma^0 \gamma^0 \gamma^i \gamma^j = \gamma^i \gamma^j$$

• Se 
$$\mu=0,\ i=1,2,3$$
  $\gamma^0\gamma^j\to\gamma^0\gamma^0\gamma^j\gamma^0=\gamma^j\gamma^0=-\gamma^0\gamma^j$  Analogamente per  $\gamma^j\gamma^0$ 

• Matrice pseudo-scalare 
$$\Gamma_P=\gamma^5$$
 • Trasformazione di Lorentz 
$$\gamma^\mu\gamma^\nu\gamma^5=\gamma^5\gamma^\mu\gamma^\nu\to S\gamma^5=\gamma^5S$$

$$f' = \overline{Su}\Gamma_P Su = \overline{u}S^{-1}\gamma^5 Su = \overline{u}\gamma^5 S^{-1} Su = \overline{u}\gamma^5 u = f$$

Inversione spaziale

$$f' = \overline{S_P u} \Gamma_P S_P u = \overline{u} \gamma^0 \gamma^5 \gamma^0 u = -\overline{u} \gamma^5 \gamma^0 \gamma^0 u = -\overline{u} \gamma^5 u = -f$$

### Inversione spaziale

- Vediamo adesso come si formalizza l'effetto dell'inversione spaziale nella teoria quantistica dei campi
- Lo stato di un sistema descritto da un vettore dello spazio di Fock
  - Ad esempio, una particella libera

$$|\mathbf{p}\rangle = \hat{a}_{\mathbf{p}}^{\dagger} |0\rangle$$

• Le classificazione delle particelle è fatta in base alle proprietà di trasformazione delle loro funzioni d'onda quando soggette a rotazioni

Scalari o pseudoscalari spin 0

• Spinori spin  $\frac{1}{2}$ 

Vettori o pseudovettori spin 1

• Tensori spin 2

- Nella Teoria Quantistica dei Campi queste proprietà si riflettono sulle proprietà di trasformazione degli operatori di creazione
- Facciamo solo l'esempio delle particelle di spin 0
  - · Possiamo avere due comportamenti

• Scalare

$$|\mathbf{p}\rangle \rightarrow +|-\mathbf{p}\rangle$$

Pseudoscalare

$$|\mathbf{p}> 
ightarrow -|\mathbf{-p}>$$

### Inversione spaziale

Con notazione unificata

$$\mathbb{P}|\mathbf{p}
angle o \xi_{\mathbb{P}}|\mathbf{-p}
angle$$
 -

- ullet  $\mathbb P$  è l'operatore di inversione e  $oldsymbol{\xi}_{\mathbb P}$  è la parità intrinseca della particella
- Deduciamo adesso l'effetto dell'operatore  $\mathbb P$  sugli operatori a e  $a^\dagger$  a partire dalle proprietà di trasformazione di uno stato di una particella

$$\mathbb{P}|\mathbf{p}\rangle = \mathbb{P}\hat{a}_{\mathbf{p}}^{\dagger}|0\rangle \qquad \qquad \mathbb{P}|\mathbf{p}\rangle = \mathbb{P}\hat{a}_{\mathbf{p}}^{\dagger}\mathbb{P}^{-1}\mathbb{P}|0\rangle$$

Assumiamo

$$\mathbb{P}|0\rangle = |0\rangle$$

• Otteniamo pertanto  $\mathbb{P}|\mathbf{p}\rangle = \mathbb{P}\widehat{a}_{\mathbf{p}}^{\dagger}\mathbb{P}^{-1}|0\rangle$ 

$$\mathbb{P}|\mathbf{p}\rangle = \mathbb{P}\widehat{a}_{\mathbf{p}}^{\dagger}\mathbb{P}^{-1}|0\rangle$$

• Confrontando con la definizione di  ${\mathbb P}$ 

$$\mathbb{P} | \mathbf{p} \rangle = | \xi_{\mathbb{P}} | -\mathbf{p} \rangle = | \xi_{\mathbb{P}} \hat{a}_{-\mathbf{p}}^{\dagger} | 0 \rangle$$

• Dal confronto concludiamo

$$\mathbb{P}\widehat{a}_{\mathbf{p}}^{\dagger}\mathbb{P}^{-1} = \xi_{\mathbb{P}}\widehat{a}_{-\mathbf{p}}^{\dagger}$$

• Inoltre, considerando l'aggiunto hermitiano di questa equazione (assumiamo  $\xi^* = \xi$ )

$$\mathbb{P}\widehat{a}_{\mathbf{p}}\mathbb{P}^{-1} = \xi_{\mathbb{P}}\widehat{a}_{-\mathbf{p}}$$

Utilizzando queste relazioni si dimostra facilmente che

$$\mathbb{P}\widehat{\phi}\left(\mathbf{r},t\right)\mathbb{P}^{-1} = \xi_{\mathbb{P}}\frac{1}{\left(2\pi\right)^{3}}\int\frac{d^{3}\mathbf{k}}{\sqrt{2E_{\mathbf{k}}}}\left(\widehat{a}_{\mathbf{k}}e^{-i(E_{\mathbf{k}}t-\mathbf{k}\cdot(-\mathbf{r}))} + \widehat{a}_{\mathbf{k}}^{\dagger}e^{i(E_{\mathbf{k}}t-\mathbf{k}\cdot(-\mathbf{r}))}\right) = \xi_{\mathbb{P}}\widehat{\phi}\left(-\mathbf{r},t\right)$$

### Inversione del campo scalare

 Calcoliamo adesso il risultato dell'operatore di inversione sul campo scalare reale

$$\begin{split} \mathbb{P}\widehat{\phi}\left(\mathbf{r},t\right)\mathbb{P}^{-1} &= \mathbb{P}\frac{1}{(2\pi)^{3}}\int \frac{d^{3}\mathbf{k}}{\sqrt{2E_{\mathbf{k}}}}\left(\widehat{a}_{\mathbf{k}}e^{-ik\cdot x} + \widehat{a}_{\mathbf{k}}^{\dagger}e^{ik\cdot x}\right)\Big|_{k_{o}=E_{\mathbf{k}}}\mathbb{P}^{-1} \\ &= \frac{1}{(2\pi)^{3}}\int \frac{d^{3}\mathbf{k}}{\sqrt{2E_{\mathbf{k}}}}\left(\mathbb{P}\widehat{a}_{\mathbf{k}}\mathbb{P}^{-1}e^{-ik\cdot x} + \mathbb{P}\widehat{a}_{\mathbf{k}}^{\dagger}\mathbb{P}^{-1}e^{ik\cdot x}\right) \\ &= \frac{1}{(2\pi)^{3}}\int \frac{d^{3}\mathbf{k}}{\sqrt{2E_{\mathbf{k}}}}\left(\xi_{\mathbb{P}}\widehat{a}_{-\mathbf{k}}e^{-ik\cdot x} + \xi_{\mathbb{P}}\widehat{a}_{-\mathbf{k}}^{\dagger}e^{ik\cdot x}\right) \\ &= \xi_{\mathbb{P}}\frac{1}{(2\pi)^{3}}\int \frac{d^{3}\mathbf{k}}{\sqrt{2E_{\mathbf{k}}}}\left(\widehat{a}_{-\mathbf{k}}e^{-i(E_{\mathbf{k}}t-\mathbf{k}\cdot\mathbf{r})} + \widehat{a}_{-\mathbf{k}}^{\dagger}e^{i(E_{\mathbf{k}}t-\mathbf{k}\cdot\mathbf{r})}\right) \end{split}$$

• Cambiamo la variabile di integrazione  $\mathbf{k} \to -\mathbf{k}$   $\int_{-\infty}^{+\infty} dk_i = -\int_{+\infty}^{-\infty} dk_i = \int_{-\infty}^{+\infty} dk_i$   $E_{\mathbf{k}}t - \mathbf{k} \cdot \mathbf{r} \to E_{\mathbf{k}}t + \mathbf{k} \cdot \mathbf{r} = E_{\mathbf{k}}t - \mathbf{k} \cdot (-\mathbf{r})$ 

$$\mathbb{P}\widehat{\phi}\left(\mathbf{r},t\right)\mathbb{P}^{-1} = \xi_{\mathbb{P}}\frac{1}{\left(2\pi\right)^{3}}\int\frac{d^{3}\mathbf{k}}{\sqrt{2E_{\mathbf{k}}}}\left(\widehat{a}_{\mathbf{k}}e^{-i\left(E_{\mathbf{k}}t-\mathbf{k}\cdot\left(-\mathbf{r}\right)\right)} + \widehat{a}_{\mathbf{k}}^{\dagger}e^{i\left(E_{\mathbf{k}}t-\mathbf{k}\cdot\left(-\mathbf{r}\right)\right)}\right) = \xi_{\mathbb{P}}\widehat{\phi}\left(-\mathbf{r},t\right)$$